

مطالعه‌ی لوکوس DFNB۳ وابسته به ناشنوای غیر سندرومیک اتوزومال مغلوب در جمعیتی از ناشنوايان ايراني با روش آناليز پيوستگي ژنتيكي

سميه رئيسى^۱، دکتر محمد حسین صنعتى^۲، دکتر محمد امين طباطبائى فر^۳، دکتر حمیدرضا پور جعفرى^۴، دکتر زرين مينوچهر^۵، افسانه شاورزى^۶، ميترا عطايى^۷، محبوهه كثيري^۸، دکتر مرتضى هاشمزاده چالشتري^۹

مقاله پژوهشی

چكيده

مقدمه: ناشنوايي يك اختلال شایع می‌باشد که به طور معمول، هتروژنی ژنتيكي را در جمعيّت‌های انساني نشان می‌دهد. بروز ناشنوايي مادرزادی به میزان ۱ در هر ۵۰۰ تولد محاسبه شده است که حدود ۷۰ درصد اين موارد به عوامل ژنتيكي نسبت داده می‌شوند. نقش ژنتيكي ناشنوايي به دو نوع سندرومیک و غیر سندرومیک دسته‌بندی می‌شود و در میان ناشنوايي‌های غیر سندرومیک نوع اتوزومال مغلوب (ARNSHL) يا Autosomal, recessive, non-syndromic hearing loss هتروژن می‌باشد و بيش از ۱۰۰ لوکوس را شامل می‌شود. برای ناشنوايي مغلوب، شایع‌ترین ژن‌های مورد بررسی در سراسر جهان شامل GJB2، OTOF، MYO15A، SLC26A4، HCN4، GJB22، CCM1 باشند. بنابراین هدف اين مطالعه، تعیین نقش موتاسیون‌های ژن A (DFNB3) در خانواده‌های ايراني به وسیله‌ی آناليز پيوستگي می‌باشد.

روش‌ها: در اين مطالعه، برای بررسی فراوانی لوکوس DFNBR3 ناشنوايي، آناليز پيوستگي در ۳۰ خانواده ايراني با بيش از سه فرد ناشنوا و منفي برای ژن GJB2 انجام شد. شجره‌های با موتاسیون منفي را با STR GJB2 با استفاده از شانگرهای DFNB3 (Short tandem repeat) مورد بررسی قرار گرفتند.

يافته‌ها: موتاسیون ۳۵delG در ۵ خانواده از ۳۰ خانواده مورد بررسی به وسیله‌ی تعیین نتوالی ناحيّه کد کننده ژن GJB2 شناسايی شد. در میان بقیه خانواده‌ها، يك خانواده به لوکوس DFNBR3 پيوستگي نشان داد.

نتيجه‌گيري: بر اساس نتایج اين مطالعه و سایر مطالعات، لوکوس DFNBR3 در جمیّت ايران سومین عامل ناشنوايي بعد از GJB2 (DFNB3) و SLC26A4 (DFNB4)

وازگان کليدي: DFNBR3، آناليز پيوستگي، ناشنوايي غیر سندرومیک اتوزومال مغلوب، ايراني

ارجاع: رئيسى سميه، صنعتى محمد حسین، طباطبائى فر محمد امين، پور جعفرى حمیدرضا، مينوچهر زرين، شاورزى افسانه، عطايى ميترا، كثيري محبوبه، مرتضى هاشمزاده چالشتري. **مطالعه‌ی لوکوس DFNBR3 وابسته به ناشنوايي غیر سندرومیک اتوزومال مغلوب در جمعيّت‌های ناشنوايي ايراني با روش آناليز پيوستگي ژنتيكي.** مجله دانشکده پزشكى اصفهان ۱۳۹۳؛ ۳۲ (۲۸۵): ??

- ۱- دانشجوی دکتری، بخش بیوتکنولوژی پزشكى، پژوهشگاه ملي مهندسي ژنتيك و زیست فناوري، تهران ايران
- ۲- دانشيار، گروه بیوتکنولوژی پزشكى، بخش بیوتکنولوژی پزشكى، پژوهشگاه ملي مهندسي ژنتيك و زیست فناوري، تهران، ايران
- ۳- استاديار، گروه ژنتيك پزشكى، دانشگاه جندى شاپور اهواز، اهواز، ايران
- ۴- استاد، گروه پزشكى مولکولي و ژنتيك، دانشگاه علوم پزشكى همدان، همدان، ايران
- ۵- استاديار، گروه ژنتيك مولکولي، بخش ژنتيك مولکولي، پژوهشگاه ملي مهندسي ژنتيك و زیست فناوري، تهران، ايران
- ۶- کارشناس آزمایشگاه، مرکز تحقیقات علوم سلولی و مولکولي، دانشگاه علوم پزشكى شهرکرد، شهرکرد، ايران
- ۷- کارشناس ارشد، گروه بیوتکنولوژی پزشكى، بخش بیوتکنولوژی پزشكى، پژوهشگاه ملي مهندسي ژنتيك و زیست فناوري، تهران، اiran
- ۸- کارشناس پرستاري، مرکز تحقیقات علوم سلولی و مولکولي، دانشگاه علوم پزشكى شهرکرد، شهرکرد، ايران
- ۹- استاد، گروه ژنتيك، مرکز تحقیقات علوم سلولی و مولکولي، دانشگاه علوم پزشكى شهرکرد، شهرکرد، اiran

Email: mchalesh@yahoo.com

نويسنده‌ی مسؤول: دکتر مرتضى هاشمزاده چالشتري

کشور ایران با توجه به ویژگی‌های جمعیتی آن، یکی از کشورهایی است که می‌تواند برای این مطالعات مناسب باشد. مطالعات در ایران نشان داده‌اند که سهم جهش‌های ژن GJB2 در بروز ناشنوایی در جمعیت‌های مختلف ایرانی متفاوت و از حدود ۲۷-۳۸ درصد در جمعیت ساکن در شمال ایران تا ۰-۴ درصد در جمعیت‌های جنوب شرقی ایران متفاوت می‌باشد. تاکنون جهش در سایر ژن‌های مرتبط با ناشنوایی نیز تنها در خانواده‌های محدودی از جمعیت ایرانی شناسایی شده است و به نظر می‌آید که جهت تعیین سهم دقیق هر کدام از این ژن‌ها در بروز ناشنوایی در جمعیت ایرانی، مطالعات بسیار گسترده‌تری مورد نیاز باشد (۷-۹).

در این میان، ژن SLC26A4 واقع در لوکوس DFNB4 در جایگاه دوم در میان ژن‌های یافت شده در ناشنوایی قرار می‌گیرد. بعد از ژن‌های GJB2 و SLC26A4 موتاسیون در ژن MYO15A فراوان ترین ژن ناشنوایی غیر سندرمی اتوزومال مغلوب در سرتاسر جهان می‌باشد (۱۰). ۲۴ موتاسیون در ژن MYO15A شناسایی شده است و این موتاسیون‌ها توسط آنالیز پیوستگی دا، خانواده‌های خویشاوند یافت شده‌اند (۱۱-۱۲). MYO15A یک میوزین غیر معمول (Unconventional) می‌باشد و نقشی در تشکیل Stereocilia دارد (۱۲). میوزین‌ها پروتئین‌های موتور مولکولی هستند که حرکت فیلامنت‌های اکتین را توسط هیدرولیز ATP (Adenosine triphosphate) انجام می‌دهند و انقباض عضلانی، عبور و مرور سلولی، حرکت سلولی، سیتوکینز و انتقال سیگنال را تسهیل می‌کنند. میوزین XVa در میان میوزین‌های غیر معمول منحصر به فرد

مقدمه

ناشنوایی یک اختلال حسی - عصبی است که طبق ارزیابی‌های انجام شده، ۷۰ میلیون نفر در سرتاسر جهان از آن رنج می‌برند. این مشکل بیشترین اختلال موجود در هنگام تولد است که با میانگین ۱ در ۵۰۰ نوزاد رخ می‌دهد (۱). ناشنوایی یک اختلال بسیار هتروژن می‌باشد و می‌تواند به دلیل عوامل ژنتیکی، محیطی یا هر دو رخ دهد (۲). بیشتر از ۵۰ درصد از موارد ناشنوایی ناشی از عوامل ژنتیکی است که از این مقدار، ۷۰ درصد آن‌ها از نوع غیر سندرمیک و ۳۰ درصد باقی مانده باشند (۳). طبق ارزیابی‌های انجام شده تا کنون ۴۶ ژن برای ناشنوایی غیر سندرمیک شناسایی شده است (۴).

مطالعات نشان داده‌اند که به غیر از GJB2 که جهش در آن در برخی جمعیت‌ها سهم قابل توجهی در بروز ناشنوایی غیر سندرمی اتوزومی مغلوب دارد، جهش در هر کدام از دیگر ژن‌های مرتبط با ناشنوایی، اغلب سهم کمتری در بروز این بیماری دارد. در واقع، هتروژنیتی بالا در مورد ناشنوایی، معضل بزرگی در جهت شناسایی علت ژنتیکی این بیماری در خانواده‌ها و بنابراین مشاوره‌ی ژنتیک مربوط به این بیماری ایجاد کرده است؛ به طوری که با وجود شناسایی این بیماری از سال‌ها قبل، هنوز ابهامات زیادی در مورد ژن‌های دخیل در این بیماری وجود دارد (۵). با توجه به هتروژنیتی بالا در مورد این بیماری، محققان مطالعه‌ی خانواده‌های بزرگ را در جمعیت‌هایی مثل جمعیت‌های خاورمیانه که فراوانی ازدواج خویشاوندی در آن‌ها بالا می‌باشد، پیشنهاد کرده‌اند (۶).

واکنش برای تکثیر ژن شامل $2/5 \mu\text{l}$ بافر PCR (Polymerase chain reaction) $2 \mu\text{l}$, $(10 \times)$, $(10 \text{ mM}) \text{ MgCl}_2$, $(50 \text{ mM}) \text{ DNTP}$, $(0.5 \mu\text{l})$, (Deoxynucleotide triphosphates) dNTP (R) از هر کدام پرایمرهای فوروارد (F) و ریورس (R) (50 pmol) , $1 \mu\text{l}$ از DNA ژنومیک ($\sim 100 \text{ ng}$) و در نهایت, $0.5 \mu\text{l}$ آنزیم Taq پلیمراز ($5 \text{ U}/\mu\text{l}$) بود که با ddH₂O (Double-distilled water) به حجم $25 \mu\text{l}$ رسانده شد. تکثیر DNA با استفاده از دستگاه ترموسایکلر (PC818-Japan, ASTEC) انجام شد. برنامه‌ی حرارتی برای واکنش شامل واسرتست‌سازی اولیه 95°C به مدت ۵ دقیقه، 31 سیکل شامل 94°C واسرتست کردن به مدت 40 ثانیه، 59°C دمای اتصال پرایمرها به مدت 40 ثانیه و 72°C برای تکثیر رشته‌ها به مدت 40 ثانیه بود و با یک سیکل 72°C به مدت ۷ دقیقه برای تکثیر نهایی خاتمه یافت. سپس محصولات PCR بر روی ژل پلی اکریل آمید در صورتی جریان 45 mA به مدت $1/5$ ساعت الکترافورز شدند و باندهای DNA توسط رنگ‌آمیزی نیترات نقره مشاهده گردیدند و در اینجا وجود باندهای با اندازه‌ی 0.9 جنت باز تأیید شد. سپس توالی‌یابی محصولات PCR انجام شد تا وجود هر نوع تغییر در این ژن مشخص شود.

محاسبه‌ی S-Link، آنالیز پیوستگی و بررسی ژنوتایپ‌ها

برای محاسبه‌ی S-link و امتیاز LOD (Logarithm of the odds) از نرم‌افزار ژنتیکی Easy linkage plus (17). برای محاسبه‌ی S-Link از FastSlink (LOD score) LOD و برای محاسبه‌ی نمره‌ی LOD

می‌باشد؛ چون دارای یک دمین N ترمینال بلند (کد شده توسط اگزون ۲) می‌باشد و اسپلایسینگ متفاوت آن دو ایزوفرم ۱ و ۲ را ایجاد می‌کند و موتاسیون در این دمین پروتئینی سبب اختلال ناشنوایی وابسته به DFNB۳ می‌شود (13-14).

روش‌ها

نمونه‌برداری و استخراج DNA ژنومیک

در این مطالعه‌ی توصیفی- آزمایشگاهی، پس از تکمیل برسشنامه و ارزیابی‌های بالینی، تعداد 30 خانواده که دارای حداقل 1 فرد ناشنوا از نوع غیر سندرومی اتوزمال مغلوب می‌باشند، از دو استان همدان و کهکیلویه و بویراحمد جم وری گردیدند. تمامی موارد ناشنوا ای سندرومیک و با عوامل مغایطی مانند ضربه به سر، منژیت، هپاتیت و داروهای اتوتوکسیک از مطالعه حذف شدند. پس از اخذ رضایت‌نامه از افراد بیمار و خانواده‌های آنان، به میزان 5 cc خون محیطی در لوله‌های حاوی EDTA (0.5 مولار) کلیه افراد در دسترس خانواده گرفته شد. سپس DNA ژنومیک به روش معمول فنل- کلروفرم از نمونه‌های خون استخراج گردید و میزان کیفیت DNA با روش اسپکتروفوتometri (USA, UNICO 2100) مورد بررسی قرار گرفت (15-16).

بررسی ژن کانکسین ۲۶

از هر شجره، حداقل یک بیمار برای توالی‌یابی ژن GJB2 انتخاب شد. پرایمرهای مورد استفاده برای تکثیر ژن کانکسین ۲۶ (GJB2) شامل $3'$ CCT CTC CTC CCT (GJB2) و $5'$ ATC ATC GTT CTG TCC TAG CT CTC ATC F: و $3'$ CCT CTC ATG CTG TC R: می‌باشند. شرایط

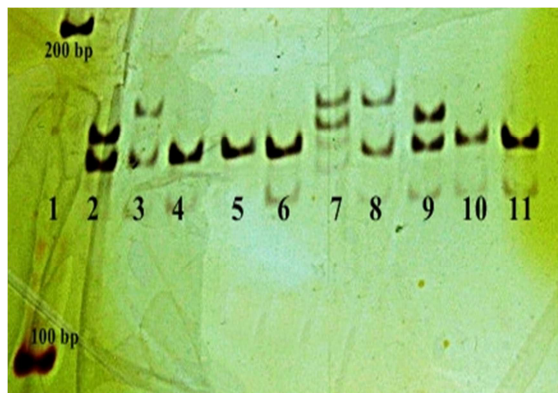
برنامه‌ی حرارتی برای تکثیر نشانگرها به صورت زیر بود: ۹۵ °C برای واسرتست‌سازی اولیه به مدت ۵ دقیقه، ۸ سیکل Touch down شامل ۹۴ °C به مدت ۳۰ ثانیه جهت واسرتست کردن رشته‌های DNA، دمای اتصال پرایمرها از ۶۲ تا ۵۵ درجه به مدت ۳۰ ثانیه و ۷۲ °C به مدت ۳۰ ثانیه و ۲۵ سیکل بعدی شامل ۹۴ °C به مدت ۳۰ ثانیه جهت واسرتست کردن رشته‌های DNA، اتصال پرایمرها ۵۴ °C به مدت ۳۰ ثانیه و ۷۲ °C به مدت ۳۰ ثانیه که با ۵ دقیقه سترز نهایی در ۷۲ °C پایان پذیرفت. در هر واکنش PCR، $0.5 \mu\text{l}$ از هر یک از پرایمرها (۱۰ PM)، $10 \mu\text{l}$ dNTP mix (۰.۵ μl)، $10 \mu\text{l}$ 10 mM MgCl₂ (۰.۱ μl)، 50 mM Taq پلیمراز آنژیم (۰.۱ μl) و $2 \mu\text{l}$ از DNA ژنومیک استفاده شد که با آب مقطر به حجم نهایی $25 \mu\text{l}$ رسانده می‌شد. بعد از تکثیر قطعات مورد نظر با واکنش PCR، نمونه‌های موردنظر برای هر خانواده به صورت جداگانه بر روی شاپلی اکریل آمید ۸-۱۲ درصد با جریان 40 mA مدت ۳ ساعت الکتروفورز شد و سپس ژل پر نظر انتیات نقره رنگ آمیزی شد و باندهای مربوط به نشانگرها مشاهده گردید.

پارامتری دو نقطه‌ای و چند نقطه‌ای به ترتیب از ۱/۶ Superlink نسخه‌ی ۱/۶ و Genehunter نسخه‌ی ۲/۹۱ استفاده شد. برای نرم‌افزار الگوی وراثتی مغلوب اتوزومی، نفوذ کامل و فراوانی آللی یک هزارم فرض شد. برای رسم هاپلوتایپ از نرم‌افزار Haplainter نسخه‌ی ۰۲۹/۵ استفاده شد (۱۸). نمونه‌های منفی برای جهش‌های ژن کانکسین ۲۶ برای تجزیه و تحلیل پیوستگی انتخاب شدند. جهت بررسی لوکوس مورد نظر، از شش نشانگر مولکولی مختلف استفاده شد و در صورتی که برای هر یک از خانواده‌های مورد مطالعه نشانگری اطلاع دهنده نبود (Uninformative)، از نشانگر دیگری در منطقه‌ی لوکوس مورد نظر استفاده می‌شد. در جدول ۱، نشانگرها مورد استفاده و ویژگی آن‌ها به صورت خلاصه آمده است. معیارهای انتخاب این نشانگر شامل هتروزیگوستی بالا برای نشانگر، نزدیکترین جایگاه نوکلئوتیدی به ژن مورد بررسی و اندازه‌ی طول محصول کمتر می‌باشد. انتخاب نشانگرها مولکولی با کمک پایگاه NCBI map viewer انجام شد. پرایمرهای نشانگرها از پایگاه NCBI UniSTS گرفته شدند و برای تکثیر آن‌ها از برنامه‌ی Touch down استفاده شد.

جدول ۱، نشانگرها مورد استفاده و ویژگی آن‌ها

نام نشانگر	پرایمر F	پرایمر R	اندازه‌ی مخصوص (bp)	هتروزیگوستی
D1wS921	GGCCACCATAATCATGTCA GACAAT	GGCCACCATAATCATGTCA GACAAT	۱۶۹-۱۸۵	۰/۷۲
D1wS1843	AATTCAAAGGCTAAAGCA AAC	GAGAATCACCTGAACCCG	۱۵۹-۲۰۳	۰/۷۰
D1wS953	ACTATCCGCCAATACA	AAGGGCTTGCTTGAC	۱۱۹-۱۳۱	۰/۷۶
D1wS1857	TGCCTAAACTGCTTCAGGT	TGCACAGGCCAATTCTTAC	۱۷۷-۱۸۷	۰/۶۲
D1wS740	TACATTAAATGCAGGATGCC	CTCTTGTGCTTGGCAGGGT	۱۰۳-۱۵۱	۰/۷۱
D1wS2196	CCAACATCTAGAATTAATCA GAATC	ATATTCAATATTGTAACCA	۱۳۹-۱۶۳	۰/۸۱

بررسی اودیوگرام مربوط به خانواده، نوع ناشنوایی عمیق را در تمامی افراد ناشنوا نشان می‌داد. SLINK محاسبه شده برای این خانواده برابر با ۳/۱۵ بود که پیوستگی به لوکوس را تأیید کرد.



شکل ۱. ژل پلی اکریل آمید مربوط به یکی از نشانگرهای مولکولی DFNB۳-شماره‌های ۲، ۳، ۸ و ۹ والدین هتروزیگوت، شماره‌های ۴، ۵، ۶، ۱۰ و ۱۱ افراد ناشنوا به صورت هموزیگوت و فرد شماره‌ی ۷ فرزند سالم

بحث

در این مطالعه، به بررسی ۳۰ خانواده با حداقل ۲ ناشنوا از استان‌های همدان و کهگیلویه و بویراحمد پرداخته شد. مطالعه پیوستگی و بررسی هاپلوتایپ نشانگرهای مولکولی TR^{STR} در منطقه‌ی لوکوس DFNB۳ برای خانواده‌های منفی برای موتاسیون‌های ژن کانکسین ۲۶ انجام شد. با توجه به این که ناشنوایی ناشی از جهش‌های ژن کانکسین ۲۶، علت ۱۸/۲۹ درصد ناشنوایی فامیلی شناخته شده است و با توجه به به شدت هتروژن بودن عارضه ناشنوایی و تنوع جمعیتی در ایران و همچنین میزان بالای ازدواج‌های درون قومی در کشور، بررسی سایر لوکوس‌های درگیر در ناشنوایی برای جمعیت‌های مختلف ایران ضروری می‌باشد (۷).

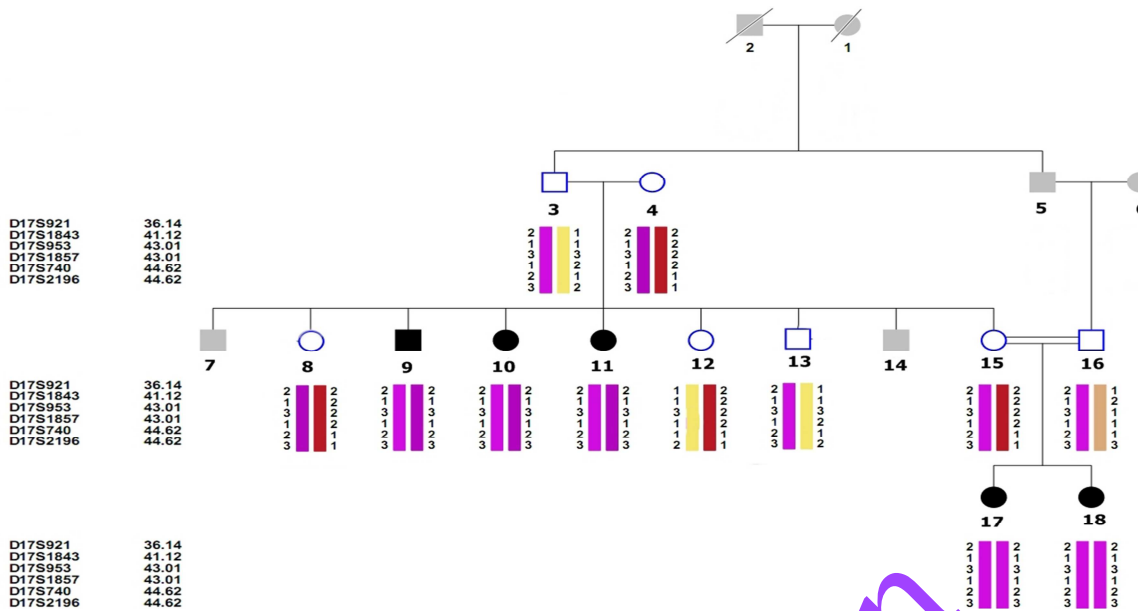
یافته‌ها

اکثر افراد مورد مطالعه، ناشنوایی دو طرفه‌ی حسی-عصبی شدید تا عمیق را نشان دادند. در ۷۰ درصد خانواده‌های مورد بررسی، ازدواج‌های خویشاوندی دیده می‌شد و با توجه به اطلاعات مربوط به شجره‌نامه، نوع ناشنوایی غیر سندرمیک و اتوزوomal مغلوب قابل تأیید بود.

تعیین توالی DNA از ناحیه‌ی کد کننده‌ی ژن GJB2 سبب شناسایی موتاسیون ۳۵delG در ۵ خانواده از ۳۰ خانواده مورد بررسی شد. موتاسیون شناسایی شده بین افراد به صورت هموزیگوت بود و این خانواده‌ها از آنالیز پیوستگی کنار گذاشته شدند. البته برای اطمینان از نقش لوکوس DFNB1 به عنوان عامل ناشنوایی در خانواده‌ها، بقیه‌ی خانواده‌ها برای پیوستگی به این لوکوس توسط سه نشانگر Informative مورد بررسی قرار گرفتند. با این وجود آنالیز پیوستگی، خانواده‌ای را که پیوسته به لوکوس DFNB1 باشد، آشکار نکرد.

برای بررسی پیوستگی به سایر لوکوس‌ها، ابتدا ارزش SLINK برای خانواده‌های باقی‌مانده محاسبه شد. ۱۴ خانواده دارای ارزش SLINK برابر و بزرگ‌تر از ۳ بودند و ۵ خانواده SLINK کمتر از ۲ داشتند و باقی‌مانده‌ی خانواده‌ها، دارای ۲ تا ۳ بودند.

بررسی خانواده‌های منفی به GJB2 برای پیوستگی ژنتیکی به لوکوس DFNB۳ توسط ۶ نشانگر STR انجام شد (شکل ۱) و از میان ۲۵ خانواده‌ی باقی‌مانده، با بررسی هاپلوتایپ، یک خانواده به این لوکوس پیوستگی نشان داد و خانواده‌ی پیوسته به لوکوس مورد نظر، الگوی کامل لینک را نشان داد (شکل ۲).



شکا ۲. شجره نامه و هاپلوتایپ خانواده‌ی پیوسته به لوکوس DFNB۳

ترتیب نشانگرها را اساس نقشه‌ی مارشفیلد (Marshfield genetic maps) می‌باشد.

Stereocilia سلول مویی گوش داخلی ایفا می‌کند و همچنین برای سازمان‌دهی اکتین در سلول‌های مویی ضروری می‌باشد (۲۰).

در مطالعات مختلف مشخص شد که موتاسیون در قصه‌های مختلف این ژن می‌تواند سبب ایجاد ناشنوایی غرسندرمی اتوزومی مغلوب شود. موتاسیون‌های ایجاد‌کننده‌ی ناشنوایی در لوکوس DFNB۳ برای اولین بار در میکروکائینی از روستایی در اندونزی شناسایی شدند. میزان فراوانی موتاسیون با مطالعات بیشتر حدود ۹ درصد تخمین زده شد. بعد از آن، موتاسیون‌های زیادی در مناطق مختلفی در هند، پاکستان، ایران، ترکیه، اندونزی و برزیل گزارش شده است (۲۱-۲۲).

اکثر موتاسیون‌های یافت شده در این ژن، توسط روش آنالیز پیوستگی مورد بررسی قرار گرفته‌اند. در مطالعات انجام شده توسط صادقی و همکاران بر روی ۴۰ خانواده‌ی خویشاوند دارای فرزند ناشنوای

بنابراین، با بررسی خانواده‌هایی که نسبت به این ژن منفی می‌باشند و بررسی سایر ژن‌های در گردن ناشنوایی، می‌توان دیدگاه دقیق‌تری نسبت به شیوع سایر ژن‌ها به دست بیاوریم. در این بررسی، از ۳۰ خانواده در آنالیز پیوستگی ۱ خانواده (~ ۴ درصد) به لوکوس DFNB۳ پیوستگی نشان دادند. عنوان سومین لوکوس برای ناشنوایی وراثتی مغلوب در جمعیت‌های مختلف شناسایی شده است و بیشتر موتاسیون‌های ایجاد شده در ژن ناشنوایی شدید تا عمیق را ایجاد می‌کنند (۱۹).

با توجه به بررسی‌های انجام شده در این مطالعه، یک خانواده با پیوستگی ژنتیکی به لوکوس DFNB۳ شناسایی شد. ژن موجود در لوکوس DFNB۳ به نام MYO15A خوانده می‌شود (۱۴)، که با ۶۶ اگزون کننده، یک میوزین غیر رسمی را کد می‌کند که در Cochlea (Myosin XVa) بیان می‌شود. این پروتئین نقش‌های مهمی در تمایز و طویل‌سازی

می باشد. هر چند، علت ناشنوایی برای حدود ۸۰ درصد خانواده های باقی مانده نامشخص می باشد و نیازمند مطالعات بعدی است. اما مطالعاتی از این دست می تواند مقدمه ای بر مطالعات بر روی جمعیت های دیگر و همچنین سایر لوکوس ها بر روی همین جمعیت و سایر جمعیت ها باشد تا بتواند در امر تشخیص بیماری و مشاوره دقتی تر خانواده هی بیماران کمک کننده باشد.

تشکر و قدردانی

از ناشنوایان و خانواده های محترم شان به دلیل همکاری صمیمانه ای که در این مطالعه داشتند و همچنین از کلیه های کارکنان مرکز تحقیقات سلوولی و مولکولی دانشگاه علوم پزشکی شهرکرد و پژوهشگاه ملی مهندسی ژنتیک و زیست فن آوری به خاطر حبیت هایشان در انجام مطالعه قدردانی می شود. این مطالعه برگرفته از پایان نامه های دانشجویی نویسنده هی اتفاق ممکن است.

استان های قم و مرکزی، دو خانواده به لوکوس DFNB۳ پیوستگی نشان دادند (۲۳). در مطالعه دیگری که توسط فتاحی و همکاران بر روی این لوکوس انجام شد، تعداد ۸ خانواده پیوسته به لوکوس مورد شناسایی قرار گرفتند (۲۲). در بررسی های مختلف بر روی جمعیت های ایرانی نشان داده شده است که موتاسیون در ژن های GJB۲ و SLC۲۶A۴ به ترتیب در اولویت های اول و دوم ایجاد کننده ناشنوایی می باشند. با توجه به مطالعات قبل، تاکنون حدود ۱۰ موتاسیون مختلف در ژن MYO15A مشخص شده است. بنابراین، امر جه به مطالعات اخیر می توان نقش لوکوس DFNB۳ را بعد از ژن ذکر شده به عنوان عامل ناشنوایی در نظر گرفت و چنین مطالعاتی می تواند در فهم شیوه ژن شناسایی این ژن MYO15A نقش به سزایی داشته باشد و در تصمیم گیری برای مراکز مشاوره ای و بالینی مؤثر باشد. در مطالعه حاضر، در مجموع علت ناشنوایی برای ۲۰ درصد از خانواده های مورد بررسی مشخص شد که مربوط به ژن های GJB۲ و MYO15A می باشد.

References

- Morton CC, Nance WE. Newborn hearing screening--a silent revolution. *N Engl J Med* 2006; 354(20): 2151-64.
- Collin RW, Kalay E, Oostrik J, Caylan R, Wollnik B, Arslan S, et al. Involvement of DFNB59 mutations in autosomal recessive nonsyndromic hearing impairment. *Hum Mutat* 2007; 28(7): 718-23.
- Van CG, Willems PJ, Smith RJ. Nonsyndromic hearing impairment: unparalleled heterogeneity. *Am J Hum Genet* 1997; 60(4): 758-64.
- Hilgert N, Smith RJ, Van CG. Forty-six genes causing nonsyndromic hearing impairment: which ones should be analyzed in DNA diagnostics? *Mutat Res* 2009; 681(2-3): 189-96.
- Kenneson A, Van Naarden BK, Boyle C. GJB2 (connexin 26) variants and nonsyndromic sensorineural hearing loss: a HuGE review. *Genet Med* 2002; 4(4): 258-74.
- Strachan T, Read A. *Human molecular genetics*. New York, NY: Garland Science; 2011.
- Hashemzadeh Chaleshtori M, Farhud D, Patton M. Congratulation to Margaret Chan familial and sporadic Gjb2-related deafness in Iran: review of gene mutations. *Iran J Public Health* 2007; 36(1): 1-14.
- Mahdieh N, Rabbani B, Shirkavand A, Bagherian H, Movahed ZS, Fouladi P, et al. Impact of consanguineous marriages in GJB2-related hearing loss in the Iranian population: a report of a novel variant. *Genet Test Mol Biomarkers* 2011; 15(7-8): 489-93.
- Najmabadi H, Nishimura C, Kahrizi K, Riazalhosseini Y, Malekpour M, Daneshi A, et al

- al. GJB2 mutations: passage through Iran. *Am J Med Genet A* 2005; 133A(2): 132-7.
- 10.** Sininger Y, Starr A. Auditory neuropathy: a new perspective on hearing disorders. Stamford, CT: Cengage Learning; 2001.
- 11.** Smith RJH, Shearer AE, Hildebrand MS, van Camp G. Deafness and hereditary hearing loss overview. *Gene review sat Gene Tests: Medical genetics information resource*. Seattle, WA: University of Washington; 1999. 2008.
- 12.** Anderson DW, Probst FJ, Belyantseva IA, Fridell RA, Beyer L, Martin DM, et al. The motor and tail regions of myosin XV are critical for normal structure and function of auditory and vestibular hair cells. *Hum Mol Genet* 2000; 9(12): 1729-38.
- 13.** Belyantseva IA, Boger ET, Friedman TB. Myosin XVA localizes to the tips of inner ear sensory cell stereocilia and is essential for staircase formation of the hair bundle. *Proc Natl Acad Sci U S A* 2003; 100(24): 13958-63.
- 14.** Liang Y, Wang A, Belyantseva IA, Anderson DW, Probst FJ, Barber TD, et al. Characterization of the human and mouse unconventional myosin XV genes responsible for hereditary deafness DFNB3 and shaker 2. *Genomics* 1999; 61(3): 243-58.
- 15.** Grimberg J, Nawoschik S, Belluscio L, McKee R, Turck A, Eisenberg A. A simple and efficient non-organic procedure for the isolation of genomic DNA from blood. *Nucleic Acids Res* 1989; 17(20): 8390.
- 16.** Kleihues P, Schauble B, zur HA, Esteve J, Ohgaki H. Tumors associated with p53 germline mutations: a synopsis of 91 families. *Am J Pathol* 1997; 150(1): 1-13.
- 17.** Lindner TH, Hoffmann K. easyLINKAGE: a PERL script for easy and automated two-/multi-point linkage analyses. *Bioinformatics* 2005; 21(3): 405-7.
- 18.** Thiele H, Nurnberg P. HaploPainter: a tool for drawing pedigrees with complex haplotypes. *Bioinformatics* 2005; 21(8): 1730-2.
- 19.** Liburd N, Ghosh M, Riazuddin S, Naz S, Khan S, Ahmed Z, et al. Novel mutations of MYO15A associated with profound deafness in consanguineous families and moderately severe hearing loss in a patient with Smith-Magenis syndrome. *Hum Genet* 2001; 109(5): 535-41.
- 20.** Berg JS, Powell BC, Cheney RE. A millennial myosin census. *Mol Biol Cell* 2001; 12(4): 780-94.
- 21.** Cengiz FB, Duman D, Sirmaci A, Tokgoz-Yilmaz S, Erbek S, Ozturkmen-Akay H, et al. Recurrent and private MYO15A mutations are associated with deafness in the Turkish population. *Genet Test Mol Biomarkers* 2010; 14(4): 443-50.
- 22.** Fattahizadeh Z, Shearer AE, Babanejad M, Bazazzadeh N, Almadani SN, Nikzat N, et al. Screening for MYO15A gene mutations in an autosomal recessive nonsyndromic, GJB2 negative Iranian deaf population. *Am J Med Genet A* 2012; 158A(8): 1857-64.
- 23.** Sadeghi A, Sanati MH, Alasti F, Hashemzadeh Chaleshtori M, Mahmoudian S, Ataei M. Contribution of GJB2 Mutations and Four Common DFNB Loci in Autosomal Recessive Non-Syndromic Hearing Impairment in Markazi and Qom Provinces of Iran. *Iran J Biotech* 2009; 7(2 SP 108-11).